

## Aula 21

### ED para fecho convexo 3D

Cap 4 do livro do O'Rourke e  
parte do Cap 11 do livro de de Berg et al.

# Estrutura de dados

**Problema:** Dado um conjunto finito  $P$  de pontos no  $\mathbb{R}^3$ , encontrar o fecho convexo  $\text{conv}(P)$  dos pontos em  $P$ .

Estrutura de dados *winged-edge* (**arestas aladas**)

# Estrutura de dados

**Problema:** Dado um conjunto finito  $P$  de pontos no  $\mathbb{R}^3$ , encontrar o fecho convexo  $\text{conv}(P)$  dos pontos em  $P$ .

Estrutura de dados *winged-edge* (**arestas aladas**)

A ED mantém uma lista de **vértices**, **arestas** e **faces** onde

**Vértice.** cada vértice  $v$  mantém as suas coordenadas  $(x, y, z)$  e um apontador  $av(v)$  para uma aresta arbitrária incidente a  $v$ ;

# Estrutura de dados

**Problema:** Dado um conjunto finito  $P$  de pontos no  $\mathbb{R}^3$ , encontrar o fecho convexo  $\text{conv}(P)$  dos pontos em  $P$ .

Estrutura de dados *winged-edge* (**arestas aladas**)

A ED mantém uma lista de **vértices**, **arestas** e **faces** onde

**Vértice.** cada vértice  $v$  mantém as suas coordenadas  $(x, y, z)$  e um apontador  $av(v)$  para uma aresta arbitrária incidente a  $v$ ;

**Face.** cada face  $f$  mantém um apontador para uma aresta arbitrária  $af(f)$  da fronteira de  $f$ ;

# Estrutura de dados

**Problema:** Dado um conjunto finito  $P$  de pontos no  $\mathbb{R}^3$ , encontrar o fecho convexo  $\text{conv}(P)$  dos pontos em  $P$ .

Estrutura de dados *winged-edge* (**arestas aladas**)

A ED mantém uma lista de **vértices**, **arestas** e **faces** onde

**Vértice.** cada vértice  $v$  mantém as suas coordenadas  $(x, y, z)$  e um apontador  $av(v)$  para uma aresta arbitrária incidente a  $v$ ;

**Face.** cada face  $f$  mantém um apontador para uma aresta arbitrária  $af(f)$  da fronteira de  $f$ ;

**Aresta.** cada aresta  $e$  tem oito apontadores...

# Arestas aladas

Cada aresta  $e$  tem oito apontadores:

- ▶ Dois apontadores para os extremos  $v_1(e)$  e  $v_2(e)$  de  $e$ .  
A ordem destes vértices fornece uma orientação para  $e$ .

## Arestas aladas

Cada aresta  $e$  tem oito apontadores:

- ▶ Dois apontadores para os extremos  $v_1(e)$  e  $v_2(e)$  de  $e$ .  
A ordem destes vértices fornece uma orientação para  $e$ .
- ▶ Apontadores  $fccw(e)$  e  $fcw(e)$  para as duas faces incidentes a  $e$ . A face  $fccw(e)$  é a esquerda de  $e = v_1(e)v_2(e)$  e a face  $fcw(e)$  é a direita.

# Arestas aladas

Cada aresta  $e$  tem oito apontadores:

- ▶ Dois apontadores para os extremos  $v_1(e)$  e  $v_2(e)$  de  $e$ .  
A ordem destes vértices fornece uma orientação para  $e$ .
- ▶ Apontadores  $fccw(e)$  e  $fcw(e)$  para as duas faces incidentes a  $e$ . A face  $fccw(e)$  é a esquerda de  $e = v_1(e)v_2(e)$  e a face  $fcw(e)$  é a direita.
- ▶ Quatro apontadores para as **asas** (*wings*) de  $e$ :  
arestas que precedem e sucedem  $e$  em  $fccw(e)$  e  $fcw(e)$ .



# Arestas aladas

Cada aresta  $e$  tem oito apontadores:

- ▶ Dois apontadores para os extremos  $v_1(e)$  e  $v_2(e)$  de  $e$ .  
A ordem destes vértices fornece uma orientação para  $e$ .
- ▶ Apontadores  $fccw(e)$  e  $fcw(e)$  para as duas faces incidentes a  $e$ . A face  $fccw(e)$  é a esquerda de  $e = v_1(e)v_2(e)$  e a face  $fcw(e)$  é a direita.
- ▶ Quatro apontadores para as **asas** (*wings*) de  $e$ :  
arestas que precedem e sucedem  $e$  em  $fccw(e)$  e  $fcw(e)$ .

Especificamente,  $pccw(e)$  e  $nccw(e)$  representam as arestas que precedem e sucedem  $e$  na face  $fccw(e)$  (sentido anti-horário).

# Arestas aladas

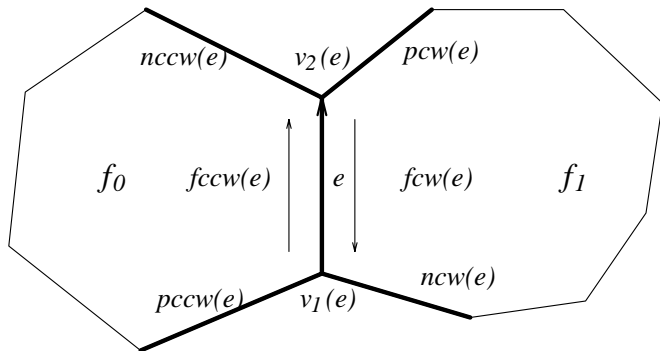
Cada aresta  $e$  tem oito apontadores:

- ▶ Dois apontadores para os extremos  $v_1(e)$  e  $v_2(e)$  de  $e$ . A ordem destes vértices fornece uma orientação para  $e$ .
- ▶ Apontadores  $fccw(e)$  e  $fcw(e)$  para as duas faces incidentes a  $e$ . A face  $fccw(e)$  é a esquerda de  $e = v_1(e)v_2(e)$  e a face  $fcw(e)$  é a direita.
- ▶ Quatro apontadores para as **asas** (*wings*) de  $e$ : arestas que precedem e sucedem  $e$  em  $fccw(e)$  e  $fcw(e)$ .

Especificamente,  $pccw(e)$  e  $nccw(e)$  representam as arestas que precedem e sucedem  $e$  na face  $fccw(e)$  (sentido anti-horário).

Analogamente,  $pcw(e)$  e  $ncw(e)$  representam as arestas que precedem e sucedem  $e$  na face  $fcw(e)$ .

## Arestas aladas



Note que cada registro dessa ED ocupa espaço constante.

# Embrulho para presente

Embrulho para presente 2D: [Jarvis](#).

Para dimensões arbitrárias: [Chand & Kapur](#).

# Embrulho para presente

Embrulho para presente 2D: **Jarvis**.

Para dimensões arbitrárias: **Chand & Kapur**.

**Consumo de tempo para calcular  $\text{conv}(P)$ :**

$O(nh)$ , onde  $n = |P|$  e  $h$  é o número de arestas de  $\text{conv}(P)$ .

# Embrulho para presente

Embrulho para presente 2D: Jarvis.

Para dimensões arbitrárias: Chand & Kapur.

Consumo de tempo para calcular  $\text{conv}(P)$ :

$O(nh)$ , onde  $n = |P|$  e  $h$  é o número de arestas de  $\text{conv}(P)$ .

Suponha que  $|P| \geq 4$ .

**Hipótese simplificadora:** pontos de  $P$  estão em posição geral, ou seja, não existem quatro pontos em  $P$  que sejam coplanares.

# Embrulho para presente

Embrulho para presente 2D: Jarvis.

Para dimensões arbitrárias: Chand & Kapur.

Consumo de tempo para calcular  $\text{conv}(P)$ :

$O(nh)$ , onde  $n = |P|$  e  $h$  é o número de arestas de  $\text{conv}(P)$ .

Suponha que  $|P| \geq 4$ .

**Hipótese simplificadora:** pontos de  $P$  estão em posição geral, ou seja, não existem quatro pontos em  $P$  que sejam coplanares.

**Consequência:**  $\text{conv}(P)$  é simplicial (faces triangulares).





# Embrulho para presente

O algoritmo é iterativo.

# Embrulho para presente

O algoritmo é iterativo.

Cada iteração começa com um conjunto de faces do fecho já determinadas, e um conjunto de arestas a serem processadas:  
arestas que estão em exatamente uma das faces já determinadas.

# Embrulho para presente

O algoritmo é iterativo.

Cada iteração começa com um conjunto de faces do fecho já determinadas, e um conjunto de arestas a serem processadas:  
**arestas que estão em exatamente uma das faces já determinadas.**

A cada iteração, o algoritmo toma uma destas arestas, e determina a segunda face do fecho que a contém, incluindo no conjunto de arestas a serem processadas algumas novas arestas.

# Inicialização do algoritmo Embrulho

Encontre um ponto extremo  $p_0$ :

Tome um ponto com coordenada  $Z$  menor possível.

# Inicialização do algoritmo Embrulho

Encontre um ponto extremo  $p_0$ :

Tome um ponto com coordenada  $Z$  menor possível.

Encontre uma face contendo  $p_0$ :

Tome a reta por  $p_0$  paralela ao eixo das abscissas e o semi-plano horizontal  $\pi$  contendo  $p_0$  e orientado positivamente na direção do eixo  $y$ .

# Inicialização do algoritmo Embrulho

Encontre um ponto extremo  $p_0$ :

Tome um ponto com coordenada  $Z$  menor possível.

Encontre uma face contendo  $p_0$ :

Tome a reta por  $p_0$  paralela ao eixo das abscissas e o semi-plano horizontal  $\pi$  contendo  $p_0$  e orientado positivamente na direção do eixo  $y$ .

Gire  $\pi$  no sentido de  $Y$  para  $Z$

até encontrar outro ponto extremo  $p_1$  da coleção.

# Inicialização do algoritmo Embrulho

Encontre um ponto extremo  $p_0$ :

Tome um ponto com coordenada  $Z$  menor possível.

Encontre uma face contendo  $p_0$ :

Tome a reta por  $p_0$  paralela ao eixo das abscissas e o semi-plano horizontal  $\pi$  contendo  $p_0$  e orientado positivamente na direção do eixo  $y$ .

Gire  $\pi$  no sentido de  $Y$  para  $Z$

até encontrar outro ponto extremo  $p_1$  da coleção.

Encontre uma face (triangular) contendo  $p_0p_1$ :

Gire o novo plano  $\pi$  em torno da aresta  $p_0p_1$

até encontrar um outro ponto extremo  $p_2$  da coleção.

# Embrulho para presente

## Embrulho3D( $P, n$ )

- 1 **CrieFila**( $Q$ )  $\triangleright$  fila com as faces encontradas
- 2 **CrieWE**( $T$ )  $\triangleright$  ED winged edges para  $\text{conv}(S)$
- 3  $f \leftarrow$  **FacelInicial**( $P, n$ )
- 4 **InsiraFila**( $Q, f$ )
- 5 **InsiraWE**( $T, f$ )



# Embrulho para presente

## Embrulho3D( $P, n$ )

- 1 **CrieFila**( $Q$ )  $\triangleright$  fila com as faces encontradas
- 2 **CrieWE**( $T$ )  $\triangleright$  ED winged edges para  $\text{conv}(S)$
- 3  $f \leftarrow$  **FacelInicial**( $P, n$ )
- 4 **InsiraFila**( $Q, f$ )
- 5 **InsiraWE**( $T, f$ )
- 6 enquanto não **FilaVazia**( $Q$ ) faça
- 7      $f \leftarrow$  **RemovaFila**( $Q$ )
- 8     para cada aresta livre  $e$  de  $f$  faça
- 9          $f' \leftarrow$  **FaceAdjacente**( $f, e$ )

# Embrulho para presente

Embrulho3D( $P, n$ )

- 1 **CrieFila**( $Q$ )  $\triangleright$  fila com as faces encontradas
- 2 **CrieWE**( $T$ )  $\triangleright$  ED winged edges para  $\text{conv}(S)$
- 3  $f \leftarrow$  **FacelInicial**( $P, n$ )
- 4 **InsiraFila**( $Q, f$ )
- 5 **InsiraWE**( $T, f$ )
- 6 enquanto não **FilaVazia**( $Q$ ) faça
- 7      $f \leftarrow$  **RemovaFila**( $Q$ )
- 8     para cada aresta livre  $e$  de  $f$  faça
- 9          $f' \leftarrow$  **FaceAdjacente**( $f, e$ )
- 10         **InsiraFila**( $Q, f'$ )
- 11         **InsiraWE**( $T, f'$ )
- 12 devolva  $T$

# Embrulho para presente

## Embrulho3D( $P, n$ )

- 1 **CrieFila**( $Q$ )  $\triangleright$  fila com as faces encontradas
- 2 **CrieWE**( $T$ )  $\triangleright$  ED winged edges para  $\text{conv}(S)$
- 3  $f \leftarrow$  **FacelInicial**( $P, n$ )
- 4 **InsiraFila**( $Q, f$ )
- 5 **InsiraWE**( $T, f$ )
- 6 enquanto não **FilaVazia**( $Q$ ) faça
- 7      $f \leftarrow$  **RemovaFila**( $Q$ )
- 8     para cada aresta livre  $e$  de  $f$  faça
- 9          $f' \leftarrow$  **FaceAdjacente**( $f, e$ )
- 10         **InsiraFila**( $Q, f'$ )
- 11         **InsiraWE**( $T, f$ )
- 12 devolva  $T$

## Consumo de tempo:

$O(hn)$ , onde  $h$  é o número de arestas do fecho convexo.

# Algoritmo incremental

Incremental( $P, n$ )

1  $P_3 \leftarrow \text{conv}(\{p_0, p_1, p_2, p_3\})$

# Algoritmo incremental

Incremental( $P, n$ )

- 1  $P_3 \leftarrow \text{conv}(\{p_0, p_1, p_2, p_3\})$
- 2 para  $k \leftarrow 4$  até  $n - 1$  faça
- 3      $P_k \leftarrow \text{conv}(P_{k-1} \cup \{p_k\})$

# Algoritmo incremental

Incremental( $P, n$ )

- 1  $P_3 \leftarrow \text{conv}(\{p_0, p_1, p_2, p_3\})$
- 2 para  $k \leftarrow 4$  até  $n - 1$  faça
- 3      $P_k \leftarrow \text{conv}(P_{k-1} \cup \{p_k\})$
- 4 devolva  $P_{n-1}$

# Algoritmo incremental

Incremental( $P, n$ )

- 1  $P_3 \leftarrow \text{conv}(\{p_0, p_1, p_2, p_3\})$
- 2 para  $k \leftarrow 4$  até  $n - 1$  faça
- 3      $P_k \leftarrow \text{conv}(P_{k-1} \cup \{p_k\})$
- 4 devolva  $P_{n-1}$

**Linha 3:** dois casos a serem tratados.

- ▶  $p_k \in P_{k-1}$

Esta decisão pode ser feita em  $O(n)$ ,  
usando a rotina [Volume6](#).

# Algoritmo incremental

Incremental( $P, n$ )

- 1  $P_3 \leftarrow \text{conv}(\{p_0, p_1, p_2, p_3\})$
- 2 para  $k \leftarrow 4$  até  $n - 1$  faça
- 3      $P_k \leftarrow \text{conv}(P_{k-1} \cup \{p_k\})$
- 4 devolva  $P_{n-1}$

**Linha 3:** dois casos a serem tratados.

- ▶  $p_k \in P_{k-1}$   
Esta decisão pode ser feita em  $O(n)$ ,  
usando a rotina [Volume6](#).
- ▶  $p_k \notin P_{k-1}$   
Generalizaremos a ideia da versão 2D deste algoritmo.



Se  $p_k \notin P_{k-1} \dots$

No caso 2D, encontrávamos as duas retas que passavam pelo ponto  $p_k$  e que são tangentes ao polígono  $P_{k-1}$ .

Se  $p_k \notin P_{k-1} \dots$

No caso 2D, encontrávamos as duas retas que passavam pelo ponto  $p_k$  e que são tangentes ao polígono  $P_{k-1}$ .

No caso 3D, encontramos **planos tangentes** em vez de retas tangentes.

Se  $p_k \notin P_{k-1} \dots$

No caso 2D, encontrávamos as duas retas que passavam pelo ponto  $p_k$  e que são tangentes ao polígono  $P_{k-1}$ .

No caso 3D, encontramos **planos tangentes** em vez de retas tangentes.

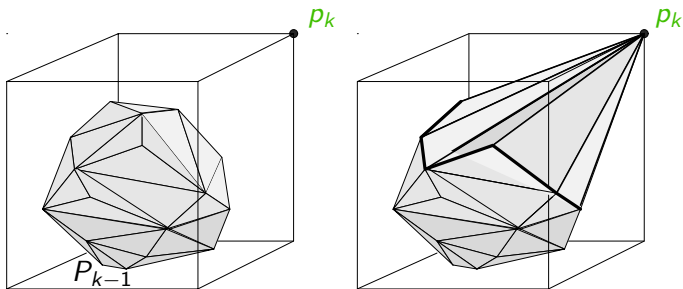
Estes **planos tangentes** determinam um cone que tem como faces triângulos e tem como bico o ponto  $p_k$ .

Se  $p_k \notin P_{k-1} \dots$

No caso 2D, encontrávamos as duas retas que passavam pelo ponto  $p_k$  e que são tangentes ao polígono  $P_{k-1}$ .

No caso 3D, encontramos **planos tangentes** em vez de retas tangentes.

Estes **planos tangentes** determinam um cone que tem como faces triângulos e tem como bico o ponto  $p_k$ .



## Como encontrar tais faces?

Faces de  $P_{k-1}$  a serem descartadas:

aquelas que são visíveis da posição que está o ponto  $p_k$ .

## Como encontrar tais faces?

Faces de  $P_{k-1}$  a serem descartadas:

aquelas que são visíveis da posição que está o ponto  $p_k$ .

Faces visíveis: têm orientação positiva olhando de  $p_k$ .

Face  $f = \triangle(a, b, c)$  é visível de  $p$  se

o sinal do volume do tetraedro formado por  $a, b, c$  e  $p$  é positivo.

## Como encontrar tais faces?

Faces de  $P_{k-1}$  a serem descartadas:

aquelas que são visíveis da posição que está o ponto  $p_k$ .

Faces visíveis: têm orientação positiva olhando de  $p_k$ .

Face  $f = \triangle(a, b, c)$  é visível de  $p$  se

o sinal do volume do tetraedro formado por  $a, b, c$  e  $p$  é positivo.

Arestas na fronteira das faces visíveis:

formarão as faces triangulares do cone com o ponto  $p_k$ .

## Como encontrar tais faces?

Faces de  $P_{k-1}$  a serem descartadas:

aquelas que são visíveis da posição que está o ponto  $p_k$ .

Faces visíveis: têm orientação positiva olhando de  $p_k$ .

Face  $f = \triangle(a, b, c)$  é visível de  $p$  se o sinal do volume do tetraedro formado por  $a, b, c$  e  $p$  é positivo.

Arestas na fronteira das faces visíveis:

formarão as faces triangulares do cone com o ponto  $p_k$ .

Suponha que  $e$  é uma aresta de  $P_{k-1}$  tal que o plano contendo  $e$  e o ponto  $p_k$  é tangente a  $P_{k-1}$ .



## Como encontrar tais faces?

Faces de  $P_{k-1}$  a serem descartadas:

aquelas que são visíveis da posição que está o ponto  $p_k$ .

Faces visíveis: têm orientação positiva olhando de  $p_k$ .

Face  $f = \triangle(a, b, c)$  é visível de  $p$  se

o sinal do volume do tetraedro formado por  $a, b, c$  e  $p$  é positivo.

Arestas na fronteira das faces visíveis:

formarão as faces triangulares do cone com o ponto  $p_k$ .

Suponha que  $e$  é uma aresta de  $P_{k-1}$  tal que

o plano contendo  $e$  e o ponto  $p_k$  é tangente a  $P_{k-1}$ .

Cada aresta é compartilhada por exatamente duas faces.

Uma das faces incidentes a  $e$  é visível a partir de  $p_k$  e a outra não.

Logo,  $e$  está na fronteira da região visível de  $p_k$ .

# Algoritmo incremental

Incremental3D( $P, n$ )

1  $P_3 \leftarrow \text{Tetraedro}(p_0, p_1, p_2, p_3)$

# Algoritmo incremental

Incremental3D( $P, n$ )

- 1  $P_3 \leftarrow \text{Tetraedro}(p_0, p_1, p_2, p_3)$
- 2 para  $k \leftarrow 4$  até  $n - 1$  faça
- 3     para cada face  $f$  de  $P_{k-1}$  faça
- 4          $v \leftarrow \text{Volume6}(f, p_k)$
- 5         se  $v > 0$  então marque  $f$  como visível de  $p_k$

# Algoritmo incremental

## Incremental3D( $P, n$ )

- 1  $P_3 \leftarrow \text{Tetraedro}(p_0, p_1, p_2, p_3)$
- 2 para  $k \leftarrow 4$  até  $n - 1$  faça
- 3   para cada face  $f$  de  $P_{k-1}$  faça
- 4      $v \leftarrow \text{Volume6}(f, p_k)$
- 5     se  $v > 0$  então marque  $f$  como visível de  $p_k$
- 6   se nenhuma face é visível de  $p_k$
- 7     então  $P_k \leftarrow P_{k-1}$

# Algoritmo incremental

Incremental3D( $P, n$ )

- 1  $P_3 \leftarrow \text{Tetraedro}(p_0, p_1, p_2, p_3)$
- 2 para  $k \leftarrow 4$  até  $n - 1$  faça
- 3     para cada face  $f$  de  $P_{k-1}$  faça
- 4          $v \leftarrow \text{Volume6}(f, p_k)$
- 5         se  $v > 0$  então marque  $f$  como visível de  $p_k$
- 6     se nenhuma face é visível de  $p_k$
- 7         então  $P_k \leftarrow P_{k-1}$
- 8         senão para cada  $e$  na fronteira das faces visíveis
- 9             construa a face determinada por  $e$  e  $p_k$

# Algoritmo incremental

Incremental3D( $P, n$ )

- 1  $P_3 \leftarrow \text{Tetraedro}(p_0, p_1, p_2, p_3)$
- 2 para  $k \leftarrow 4$  até  $n - 1$  faça
- 3   para cada face  $f$  de  $P_{k-1}$  faça
- 4      $v \leftarrow \text{Volume6}(f, p_k)$
- 5     se  $v > 0$  então marque  $f$  como visível de  $p_k$
- 6 se nenhuma face é visível de  $p_k$
- 7   então  $P_k \leftarrow P_{k-1}$
- 8   senão para cada  $e$  na fronteira das faces visíveis
- 9     construa a face determinada por  $e$  e  $p_k$
- 10    para cada face visível  $f$
- 11     remova  $f$  de  $P_{k-1}$
- 12    faça os acertos finais obtendo  $P_k$

# Algoritmo incremental

## Incremental3D( $P, n$ )

- 1  $P_3 \leftarrow \text{Tetraedro}(p_0, p_1, p_2, p_3)$
- 2 para  $k \leftarrow 4$  até  $n - 1$  faça
- 3     para cada face  $f$  de  $P_{k-1}$  faça
- 4          $v \leftarrow \text{Volume6}(f, p_k)$
- 5         se  $v > 0$  então marque  $f$  como visível de  $p_k$
- 6     se nenhuma face é visível de  $p_k$
- 7         então  $P_k \leftarrow P_{k-1}$
- 8         senão para cada  $e$  na fronteira das faces visíveis
- 9             construa a face determinada por  $e$  e  $p_k$
- 10         para cada face visível  $f$
- 11             remova  $f$  de  $P_{k-1}$
- 12         faça os acertos finais obtendo  $P_k$
- 13 devolva  $P_{n-1}$

# Algoritmo incremental

## Incremental3D( $P, n$ )

- 1  $P_3 \leftarrow \text{Tetraedro}(p_0, p_1, p_2, p_3)$
- 2 para  $k \leftarrow 4$  até  $n - 1$  faça
- 3     para cada face  $f$  de  $P_{k-1}$  faça
- 4          $v \leftarrow \text{Volume6}(f, p_k)$
- 5         se  $v > 0$  então marque  $f$  como visível de  $p_k$
- 6     se nenhuma face é visível de  $p_k$
- 7         então  $P_k \leftarrow P_{k-1}$
- 8     senão para cada  $e$  na fronteira das faces visíveis
- 9         construa a face determinada por  $e$  e  $p_k$
- 10         para cada face visível  $f$
- 11             remova  $f$  de  $P_{k-1}$
- 12         faça os acertos finais obtendo  $P_k$
- 13 devolva  $P_{n-1}$

**Consumo de tempo:** Pela fórmula de Euler, é  $O(n^2)$ .



## Algoritmo incremental probabilístico

A versão probabilística do algoritmo escolhe uma permutação uniformemente dos  $n$  pontos dados, e os processa nesta ordem.

## Algoritmo incremental probabilístico

A versão probabilística do algoritmo escolhe uma permutação uniformemente dos  $n$  pontos dados, e os processa nesta ordem.

Essa versão consome tempo  $O(n \lg n)$ .

Isso está provado na seção 11.3 do livro de de Berg et al.

## Algoritmo incremental probabilístico

A versão probabilística do algoritmo escolhe uma permutação uniformemente dos  $n$  pontos dados, e os processa nesta ordem.

Essa versão consome tempo  $O(n \lg n)$ .

Isso está provado na seção 11.3 do livro de de Berg et al.

**Lema:** O número esperado de faces criadas por esta variante do [Incremental3D](#) é no máximo  $6n - 20$ .

## Algoritmo incremental probabilístico

A versão probabilística do algoritmo escolhe uma permutação uniformemente dos  $n$  pontos dados, e os processa nesta ordem.

Essa versão consome tempo  $O(n \lg n)$ .

Isso está provado na seção 11.3 do livro de de Berg et al.

**Lema:** O número esperado de faces criadas por esta variante do [Incremental3D](#) é no máximo  $6n - 20$ .

**Esboço da prova:** O 1-esqueleto é um grafo planar.

## Algoritmo incremental probabilístico

A versão probabilística do algoritmo escolhe uma permutação uniformemente dos  $n$  pontos dados, e os processa nesta ordem.

Essa versão consome tempo  $O(n \lg n)$ .

Isso está provado na seção 11.3 do livro de de Berg et al.

**Lema:** O número esperado de faces criadas por esta variante do **Incremental3D** é no máximo  $6n - 20$ .

**Esboço da prova:** O 1-esqueleto é um grafo planar.

O vértice  $p_k$  é um dos vértices de  $P_k$  com probabilidade uniforme.

O número de faces criadas para inserir  $p_k$  é o grau de  $p_k$  em  $P_k$ .

## Algoritmo incremental probabilístico

A versão probabilística do algoritmo escolhe uma permutação uniformemente dos  $n$  pontos dados, e os processa nesta ordem.

Essa versão consome tempo  $O(n \lg n)$ .

Isso está provado na seção 11.3 do livro de de Berg et al.

**Lema:** O número esperado de faces criadas por esta variante do **Incremental3D** é no máximo  $6n - 20$ .

**Esboço da prova:** O 1-esqueleto é um grafo planar.

O vértice  $p_k$  é um dos vértices de  $P_k$  com probabilidade uniforme.

O número de faces criadas para inserir  $p_k$  é o grau de  $p_k$  em  $P_k$ .

O grau esperado de  $p_k$  é o grau médio do 1-esqueleto de  $P_k$ ,

## Algoritmo incremental probabilístico

A versão probabilística do algoritmo escolhe uma permutação uniformemente dos  $n$  pontos dados, e os processa nesta ordem.

Essa versão consome tempo  $O(n \lg n)$ .

Isso está provado na seção 11.3 do livro de de Berg et al.

**Lema:** O número esperado de faces criadas por esta variante do **Incremental3D** é no máximo  $6n - 20$ .

**Esboço da prova:** O 1-esqueleto é um grafo planar.

O vértice  $p_k$  é um dos vértices de  $P_k$  com probabilidade uniforme.

O número de faces criadas para inserir  $p_k$  é o grau de  $p_k$  em  $P_k$ .

O grau esperado de  $p_k$  é o grau médio do 1-esqueleto de  $P_k$ , que é  $\leq 2(3k - 6)/k < 6$ .

## Algoritmo incremental probabilístico

A versão probabilística do algoritmo escolhe uma permutação uniformemente dos  $n$  pontos dados, e os processa nesta ordem.

Essa versão consome tempo  $O(n \lg n)$ .

Isso está provado na seção 11.3 do livro de de Berg et al.

**Lema:** O número esperado de faces criadas por esta variante do [Incremental3D](#) é no máximo  $6n - 20$ .

Observe que o lema acima garante que o custo total para construir os fechos  $P_1, \dots, P_n$  poderia ser  $O(n)$  em princípio.



## Algoritmo incremental probabilístico

A versão probabilística do algoritmo escolhe uma permutação uniformemente dos  $n$  pontos dados, e os processa nesta ordem.

Essa versão consome tempo  $O(n \lg n)$ .

Isso está provado na seção 11.3 do livro de de Berg et al.

**Lema:** O número esperado de faces criadas por esta variante do [Incremental3D](#) é no máximo  $6n - 20$ .

Observe que o lema acima garante que o custo total para construir os fechos  $P_1, \dots, P_n$  poderia ser  $O(n)$  em princípio.

No entanto, para isso, temos que ser capazes de encontrar as faces visíveis sem testar a visibilidade face a face.

# Algoritmo incremental probabilístico

Para isso, o algoritmo carrega um grafo bipartido  $G$

## Algoritmo incremental probabilístico

Para isso, o algoritmo carrega um grafo bipartido  $G$  onde um lado da bipartição são os vértices  $p_k, \dots, p_n$  e do outro lado da bipartição as faces de  $P_{k-1}$ .

## Algoritmo incremental probabilístico

Para isso, o algoritmo carrega um grafo bipartido  $G$  onde um lado da bipartição são os vértices  $p_k, \dots, p_n$  e do outro lado da bipartição as faces de  $P_{k-1}$ .

Um vértice  $p_t$  é adjacente a uma face  $f$  se enxerga  $f$ .

## Algoritmo incremental probabilístico

Para isso, o algoritmo carrega um grafo bipartido  $G$  onde um lado da bipartição são os vértices  $p_k, \dots, p_n$  e do outro lado da bipartição as faces de  $P_{k-1}$ .

Um vértice  $p_t$  é adjacente a uma face  $f$  se enxerga  $f$ .

$F_{\text{conflito}}(p)$ : conjunto das faces vizinhas em  $G$  ao vértice  $p$

$P_{\text{conflito}}(f)$ : conjunto dos vértices vizinhos em  $G$  à face  $f$

## Algoritmo incremental probabilístico

Para isso, o algoritmo carrega um grafo bipartido  $G$  onde um lado da bipartição são os vértices  $p_k, \dots, p_n$  e do outro lado da bipartição as faces de  $P_{k-1}$ .

Um vértice  $p_t$  é adjacente a uma face  $f$  se enxerga  $f$ .

$F_{\text{conflito}}(p)$ : conjunto das faces vizinhas em  $G$  ao vértice  $p$

$P_{\text{conflito}}(f)$ : conjunto dos vértices vizinhos em  $G$  à face  $f$

Em cada iteração,

$F_{\text{conflito}}(p_k)$  são as faces a serem removidas de  $P_{k-1}$ .

Remova as faces de  $F_{\text{conflito}}(p_k)$  da ED das arestas aladas.

## Algoritmo incremental probabilístico

Enquanto remove as faces de  $F_{\text{conflito}}(p_k)$ ,  
determine o conjunto  $\mathcal{L}$  das arestas na borda da região visível.

## Algoritmo incremental probabilístico

Enquanto remove as faces de  $F_{\text{conflito}}(p_k)$ ,  
determine o conjunto  $\mathcal{L}$  das arestas na borda da região visível.

Para cada aresta  $e$  do conjunto  $\mathcal{L}$ ,  
acrescente uma nova face com  $e$  e  $p_k$  na ED das arestas aladas,  
para obter a representação de  $P_k$ .



## Algoritmo incremental probabilístico

Enquanto remove as faces de  $F_{\text{conflito}}(p_k)$ ,  
determine o conjunto  $\mathcal{L}$  das arestas na borda da região visível.

Para cada aresta  $e$  do conjunto  $\mathcal{L}$ ,  
acrescente uma nova face com  $e$  e  $p_k$  na ED das arestas aladas,  
para obter a representação de  $P_k$ .

O tempo para isso é proporcional à soma do tamanho  
dos dois conjuntos, e isso, pelo lema anterior, é  $O(n)$  no total.

## Algoritmo incremental probabilístico

Enquanto remove as faces de  $F_{\text{conflito}}(p_k)$ ,  
determine o conjunto  $\mathcal{L}$  das arestas na borda da região visível.

Para cada aresta  $e$  do conjunto  $\mathcal{L}$ ,  
acrescente uma nova face com  $e$  e  $p_k$  na ED das arestas aladas,  
para obter a representação de  $P_k$ .

O tempo para isso é proporcional à soma do tamanho  
dos dois conjuntos, e isso, pelo lema anterior, é  $O(n)$  no total.

Mas... adicionalmente precisamos atualizar  $G$ .

Isso envolve:

- ▶ remover  $p_k$ ;
- ▶ remover as faces de  $F_{\text{conflito}}(p_k)$ ;
- ▶ inserir as faces novas, uma para cada  $e \in \mathcal{L}$ ;
- ▶ determinar o conjunto  $P_{\text{conflito}}(f)$  para cada face nova  $f$ .

# Algoritmo incremental probabilístico

Como determinar o conjunto  $P_{\text{conflito}}(f)$  para cada  $f$ ?

Esta é a parte do algoritmo que consome  $O(n \lg n)$  no total.

# Algoritmo incremental probabilístico

Como determinar o conjunto  $P_{\text{conflito}}(f)$  para cada  $f$ ?

Esta é a parte do algoritmo que consome  $O(n \lg n)$  no total.

Para mostrar isso, primeiro observe que, se  $e \in \mathcal{L}$  e  $f$  é a nova aresta formada por  $e$  e  $p_k$ , então

$$P_{\text{conflito}}(f) \subseteq P_{\text{conflito}}(f_1) \cup P_{\text{conflito}}(f_2)$$

onde  $f_1$  e  $f_2$  são as faces de  $P_{k-1}$  que compartilham  $e$ .

# Algoritmo incremental probabilístico

Como determinar o conjunto  $P_{\text{conflito}}(f)$  para cada  $f$ ?

Esta é a parte do algoritmo que consome  $O(n \lg n)$  no total.

Para mostrar isso, primeiro observe que, se  $e \in \mathcal{L}$  e  $f$  é a nova aresta formada por  $e$  e  $p_k$ , então

$$P_{\text{conflito}}(f) \subseteq P_{\text{conflito}}(f_1) \cup P_{\text{conflito}}(f_2)$$

onde  $f_1$  e  $f_2$  são as faces de  $P_{k-1}$  que compartilham  $e$ .

Seja  $P(e) = P_{\text{conflito}}(f_1) \cup P_{\text{conflito}}(f_2)$ .

## Algoritmo incremental probabilístico

Seja  $P(e) = P_{\text{conflito}}(f_1) \cup P_{\text{conflito}}(f_2)$ .

Usando a rotina **Volume6**, podemos calcular o conjunto  $P_{\text{conflito}}(f)$  para cada face nova  $f$  em tempo  $O(|P(e)|)$ .

## Algoritmo incremental probabilístico

Seja  $P(e) = P_{\text{conflito}}(f_1) \cup P_{\text{conflito}}(f_2)$ .

Usando a rotina **Volume6**, podemos calcular o conjunto  $P_{\text{conflito}}(f)$  para cada face nova  $f$  em tempo  $O(|P(e)|)$ .

No livro de de Berg et al., se encontra a prova de que

$$E[\sum_e |P(e)|] = O(n \lg n)$$

onde a soma é sobre todas as arestas que fizeram parte de  $\mathcal{L}$  em alguma iteração do algoritmo. Então...

## Algoritmo incremental probabilístico

Seja  $P(e) = P_{\text{conflito}}(f_1) \cup P_{\text{conflito}}(f_2)$ .

Usando a rotina [Volume6](#), podemos calcular o conjunto  $P_{\text{conflito}}(f)$  para cada face nova  $f$  em tempo  $O(|P(e)|)$ .

No livro de de Berg et al., se encontra a prova de que

$$E[\sum_e |P(e)|] = O(n \lg n)$$

onde a soma é sobre todas as arestas que fizeram parte de  $\mathcal{L}$  em alguma iteração do algoritmo. Então...

**Lema:**

O consumo de tempo esperado desta variante do [Incremental3D](#) é  $O(n \lg n)$  para calcular o fecho convexo de  $n$  pontos do  $\mathbb{R}^3$ .